

и прикладная механика: Научно-техн. сб. - Харьков: Основа, 2000. - Вып. 31. - С. 103-108.

8. Хижняк В. К., Шевченко В. П. Смешанные задачи теории пластин и оболочек: Учебное пособие. - Донецк: ДонГУ, 1980. - 128 с.

Поступила в редколлегию 05.08.2001 г.

УДК 532.59

И.Т.СЕЛЕЗОВ, д-р физ.-мат. наук, С.Г.ШПАКОВА, канд. физ.-мат. наук
Ин-т гидромех. НАН Украины

НЕСИММЕТРИЧНЫЕ ВОЛНОВЫЕ ВОЗМУЩЕНИЯ В СИСТЕМЕ СТРУЯ – СТРАТИФИЦИРОВАННАЯ ЖИДКОСТЬ

Получено аналитическое решение задачи о распространении волн в стратифицированной жидкости, генерируемых инъекцией вертикальной струи. Проведен анализ существования бегущих волн, анализ фазовых и групповых скоростей в зависимости от длины волны, а также волновых мод. Установлены характерные особенности распространения волн и переноса волновой энергии.

1. Введение. Проблема генерации и распространения внутренних волн имеет большое теоретическое и прикладное значение. Теория струй в свою очередь была и остается также проблемой исключительной важности и актуальности. Подавляющее число работ в этой области относится к струйным движениям в однородных и нестратифицированных средах [1]. В работе [1] получено решение новой задачи инъекции струи в стратифицированную среду в случае осесимметричного движения. Здесь рассматривается соответствующая неосесимметричная задача.

Движение стратифицированной среды с достаточной точностью обычно описывается линеаризованными уравнениями гидродинамики несжимаемой невязкой жидкости в приближении Буссинеска [2]

$$\frac{\partial \mathbf{v}}{\partial t} + \frac{1}{r_0} \mathbf{V} p = 0, \quad \frac{\partial w}{\partial t} + \frac{1}{r_0} \frac{\partial p}{\partial z} + \frac{g}{r_0} r = 0, \quad \mathbf{V} \cdot \mathbf{v} = -\frac{\partial w}{\partial z},$$

$$\frac{\partial}{\partial t} \left(\frac{\mathbf{r}}{r_0} \right) = \frac{1}{g} N^2(z) w, \quad N^2(z) = -\frac{g}{r_0} \frac{d r_0(z)}{d z}, \quad \mathbf{v} = (v_r, v_q) \quad (1)$$

При этом полагаем $\rho_0(z) \cong \rho_{00} = const$ в (1) всюду, кроме $N^2(z)$. Система уравнений (1) может быть сведена к разрешающему уравнению для вертикальной скорости w и уравнению, связывающему давление p и w

$$\frac{\mathbb{J}^2}{\mathbb{J}t^2} \nabla^2 w + N^2(z) \nabla_-^2 w = 0, \quad \nabla_-^2 p = r_{00} \frac{\mathbb{J}^2 w}{\mathbb{J}t \mathbb{J}z} \quad (2)$$

В уравнениях (1), (2) выделена вертикальная координата z , а черточка снизу справа соответствует плановым координатам.

2. Постановка задачи. Задача решается в линеаризованной постановке. Струя, с которой связана цилиндрическая система координат r, θ, z с осью oz , направленной вниз, занимает область $\Omega^j = \{r, q, z | r \in [0, D/2], q \in (0, 2p), z \in (-\infty, \infty)\}$, а внешняя среда – область Ω , соответственно.

Жидкость в струе рассматривается невязкой несжимаемой, невозмущенная скорость U_0 равномерно распределенной по поперечному сечению струи. Это позволяет ввести полный потенциал Φ по формуле $\mathbf{v}^j = \nabla \Phi^j$ и в силу линейности задачи представить полное поле в виде суперпозиции невозмущенной и возмущенной составляющих $\Phi^j(r, z, q, t) = U_0 z + j^j(r, z, q, t)$,

$$\frac{\mathbb{J} \Phi^j}{\mathbb{J}z} = U_0 + v_z^j, \quad \frac{\mathbb{J} \Phi^j}{\mathbb{J}r} = \frac{\mathbb{J} j^j}{\mathbb{J}r} = v_r^j, \quad \frac{\mathbb{J} \Phi^j}{\mathbb{J}q} = \frac{\mathbb{J} j^j}{\mathbb{J}q} = v_q^j. \quad (3)$$

При этом возмущенное движение описывается потенциалом Φ^j , удовлетворяющим уравнению Лапласа.

Постановка задачи в системе координат (r, q, z) с учетом уравнений (1) - (3) включает уравнения в области Ω

$$\begin{aligned} \frac{\mathbb{J} v_r}{\mathbb{J}t} + \frac{\mathbb{J} p}{\mathbb{J}r} = 0, \quad \frac{\mathbb{J} v_q}{\mathbb{J}t} + \frac{1}{r} \frac{\mathbb{J} p}{\mathbb{J}q} = 0, \quad \frac{\mathbb{J} w}{\mathbb{J}t} + \frac{\mathbb{J} p}{\mathbb{J}z} + r = 0, \quad \frac{\mathbb{J} r}{\mathbb{J}t} = N^2 w, \\ \frac{1}{r} \frac{\mathbb{J}}{\mathbb{J}r} (r v_r) = -\frac{\mathbb{J} w}{\mathbb{J}z}, \quad \frac{1}{r} \frac{\mathbb{J}}{\mathbb{J}r} (r \frac{\mathbb{J} p}{\mathbb{J}r}) = \frac{\mathbb{J}^2 w}{\mathbb{J}t \mathbb{J}z}, \\ \frac{\mathbb{J}^2}{\mathbb{J}t^2} \left[\frac{1}{r} \frac{\mathbb{J}}{\mathbb{J}r} (r \frac{\mathbb{J} w}{\mathbb{J}r}) + \frac{1}{r^2} \frac{\mathbb{J}^2 w}{\mathbb{J}q^2} + \frac{\mathbb{J}^2 w}{\mathbb{J}z^2} \right] + N^2 \left[\frac{1}{r} \frac{\mathbb{J}}{\mathbb{J}r} (r \frac{\mathbb{J} w}{\mathbb{J}r}) + \frac{1}{r^2} \frac{\mathbb{J}^2 w}{\mathbb{J}q^2} \right] = 0, \\ \frac{1}{r} \frac{\mathbb{J}}{\mathbb{J}r} \left(r \frac{\mathbb{J} p}{\mathbb{J}r} \right) + \frac{1}{r^2} \frac{\mathbb{J}^2 w}{\mathbb{J}q^2} = r_{00} \frac{\mathbb{J}^2 w}{\mathbb{J}t \mathbb{J}z}, \end{aligned} \quad (4)$$

в области Ω^j

$$\frac{1}{r} \frac{\mathbb{J}}{\mathbb{J}r} \left(r \frac{\mathbb{J} j^j}{\mathbb{J}r} \right) + \frac{1}{r^2} \frac{\mathbb{J}^2 j^j}{\mathbb{J}q^2} + \frac{\mathbb{J}^2 j^j}{\mathbb{J}z^2} = 0, \quad (5)$$

условия сопряжения на границе раздела жидкостей

$$\left(\frac{\mathbb{J}^2 j^j}{\mathbb{J}t \mathbb{J}r} - U_0 \frac{\mathbb{J} v_r}{\mathbb{J}z} - \frac{\mathbb{J} v_r}{\mathbb{J}t} \right)_{r=\frac{1}{2}} = 0,$$

$$r_0^j \left(\frac{\mathcal{J}^j}{\mathcal{J}t} + U_0 \frac{\mathcal{J}^j}{\mathcal{J}z} \right)_{r=\frac{1}{2}} = -p|_{r=\frac{1}{2}}, \quad (6)$$

условия регулярности на оси и на бесконечности

$$\frac{\mathcal{J}^j}{\mathcal{J}r} = 0 \quad \text{при} \quad r = 0, \quad v_r, v_q, w, p < \infty \quad \text{при} \quad r \rightarrow \infty, \quad (7)$$

представление решений в классе бегущих волн вдоль оси z

$$\begin{aligned} \{j_m^j, w_m, \dots\} &= \{J_m^j(r), W_m(r), \dots\} \exp[i(k_m z - w_m t)] \cos(mq), \\ v_{qm} &= v_{qm}(r) \exp[i(k_m z - w_m t)] \sin(mq). \end{aligned} \quad (8)$$

В (1) - (8) приняты обозначения: r и p - плотность и давление, ρ_{00} - невозмущенная плотность стратифицированной среды, W, V_r, v_θ - компоненты скорости движения стратифицированной жидкости вдоль осей z, r, q , N - частота плавучести Брента - Вайсяля, ρ_0^j - плотность жидкости в струе, D - диаметр струи, k_m и ω_m ($m = 0, 1, 2, \dots$) - волновое число и круговая частота.

В (4) - (8) приняты безразмерные величины, введенные по формулам (звездочки опускаются)

$$\begin{aligned} (r^*, q^*, z^*) &= \frac{1}{D} (r, q, z), \quad t^* = \sqrt{\frac{g}{D}}, \quad p^* = \frac{1}{r_{00} g D} p, \quad r^* = \frac{r}{r_{00}}, \\ r_0^{*j} &= \frac{r_0^j}{r_{00}}, \quad w_m^* = \sqrt{\frac{D}{g}} w_m, \quad j^* = \frac{1}{D \sqrt{g D}} j, \quad N^{*2}(z^*) = \frac{D}{g} N^2(z), \\ (v_r^*, v_q, w^*, U_0^*) &= \frac{1}{\sqrt{g D}} (v_r, v_q, w, U_0), \quad k_m^* = D k_m, \end{aligned}$$

Приближенный модельный анализ проводится в предположении, что на некотором участке в вертикальном направлении величину $N(z)$ можно принять постоянной в связи с тем, что при линейном изменении $r_0(z)$ ее производная есть константа, а сама величина $r_0(z)$ есть медленно меняющаяся функция z .

3. Решения и анализ результатов. После подстановки (8) в (4) - (7) получаем

$$\frac{d^2 \mathcal{S}_m}{dr^2} + \frac{1}{r} \frac{d \mathcal{S}_m}{dr} + \left(k_{1m}^2 + \frac{m^2}{r^2} \right) \mathcal{S}_m = 0, \quad k_{1m} = \frac{k_m}{\sqrt{N^2 / w_m^2 - 1}} \quad (9)$$

$$\frac{d^2 J_m^j}{dr^2} + \frac{1}{r} \frac{d J_m^j}{dr} - \left(\frac{m^2}{r^2} + k_m^2 \right) J_m^j = 0. \quad (10)$$

$$\begin{aligned} & \left[\frac{d\mathcal{J}_m^j}{dr} + \frac{k_m}{w_m} \left(U_0 - \frac{w_m}{k_m} \right) \mathcal{J}_m^j \right]_{r=1/2} = 0, \\ & \left[ikr_0^j \left(U_0 - \frac{w_m}{k_m} \right) \mathcal{J}_m^j + \mathcal{P}_m \right]_{r=1/2} = 0. \end{aligned} \quad (11)$$

Решение уравнения (9) можно записать как в функциях Бесселя (описывает стоячие поперечные волны), так и в функциях Ханкеля (описывает бегущие волны) [3].

С учетом условий регулярности (7) решения в функциях Ханкеля в области Ω и решение для струи в области Ω^j записываются в виде

$$\mathcal{W}_m(r) = C_{3,m} H_m^{(1)}(k_{1m} r). \quad (12)$$

$$\begin{aligned} \mathcal{S}_m(r) &= i \frac{N^2}{w_m} C_{3,m} H_m^{(1)}(k_{1m} r), & \mathcal{S}_m(r) &= -i \frac{k_m}{k_{1m}} C_{3,m} H_{m+1}^{(1)}(k_{1m} r), \\ \mathcal{S}_{qm}(r) &= -i \frac{m k_m}{r k_{1m}^2} C_{3,m} H_{m+1}^{(1)}(k_{1m} r), & \mathcal{S}_m(r) &= -\frac{w_m k_m}{k_{1m}^2} C_{3,m} H_m^{(1)}, \end{aligned} \quad (13)$$

$$\mathcal{J}_m^j(r) = C_{1,m} I_m(k_m r). \quad (14)$$

Подставляя решения (13), (14) в условия сопряжения (11), получаем дисперсионное уравнение

$$\frac{I_{m+1}(k_m/2)}{I_m(k_m/2)} + \frac{r_0^j (U_0/c_m - 1)^2}{\sqrt{N^2/w_m^2 - 1}} \frac{H_{m+1}^{(1)}(k_{1m}/2)}{H_m^{(1)}(k_{1m}/2)} = 0. \quad (15)$$

Исследуем это уравнение. При любых $k_m > 0$, первый член в (16) положителен. Коэффициент при отношении функций Ханкеля также положителен в силу того, что $w_m < N$ [4]. Поэтому уравнение (15) можно представить в виде

$$1 + A_m H_{m+1}^{(1)}(k_{1m}/2) / H_m^{(1)}(k_{1m}/2) = 0, \quad (16)$$

где величина $A_m > 0$ всегда. Выражая функции Ханкеля через функции Бесселя $H_{n_m}^{(1)} = J_{n_m}(g) + iY_{n_m}(g) = 0$, ($n = 0, 1$), приводим уравнение (16) к системе двух уравнений

$$J_m(k_{1m}/2) [1 + A_m J_{m+1}(k_{1m}/2) / J_m(k_{1m}/2)] = 0, \quad (17)$$

$$Y_m(k_{1m}/2) [1 + A_m Y_{m+1}(k_{1m}/2) / Y_m(k_{1m}/2)] = 0, \quad (18)$$

Имеем четыре случая разрешимости этой системы:

1) $J_m(k_{1m}/2) = 0$; $Y_m(k_{1m}/2) = 0$. Известно, что положительные корни двух линейно независимых действительных функций Бесселя одного порядка перемежаются [5]. Следовательно, не существует

такого $k_{1m} > 0$, при котором одновременно $J_m(k_{1m}/2) = 0$ и $Y_m(k_{1m}/2) = 0$.

$$2) \quad 1 + A_m J_{m+1}(k_{1m}/2) / J_m(k_{1m}/2) = 0;$$

$$1 + A_m Y_{m+1}(k_{1m}/2) / Y_m(k_{1m}/2) = 0. \quad \text{Рассмотрим Вронскиан [5]}$$

$$J_{m+1}(g)Y_m(g) - J_m(g)Y_{m+1}(g) = 2/p/g, \quad (19)$$

который преобразуем к виду

$$J_m(g)Y_m(g)[J_{m+1}(g)/J_m(g) - Y_{m+1}(g)/Y_m(g)] = 2/p/g. \quad (20)$$

Вронскиан отличен от нуля, поэтому

$$J_{m+1}(k_{1m}/2) / J_m(k_{1m}/2) \neq Y_{m+1}(k_{1m}/2) / Y_m(k_{1m}/2).$$

Следовательно, не существует таких действительных $k_{1m} > 0$, при которых оба выражения одновременно равны нулю.

3) $J_m(k_{1m}/2) = 0$; $1 + A_m Y_{m+1}(k_{1m}/2) / Y_m(k_{1m}/2) = 0$. Из графиков и таблиц видно, что корни рассматриваемых функций Бесселя располагаются следующим образом [6]: если $k_{1m}/2$ - корень функции $J_m(g)$, то значения функций $Y_{m+1}(g), Y_m(g)$ в этой точке либо одного знака, либо $k_{1m}/2$ также является корнем функции $Y_{m+1}(g)$, а поэтому второе выражение будет отлично от нуля. Следовательно, и для этого случая система не имеет решения.

4) $Y_m(k_{1m}/2) = 0$; $1 + A_m J_{m+1}(k_{1m}/2) / J_m(k_{1m}/2) = 0$. В этом случае наблюдается картина, аналогичная рассмотренной в предыдущем варианте. Если $k_{1m}/2$ является корнем функции $Y_m(g)$, то значения функций $J_{m+1}(g), J_m(g)$ в этой точке либо одного знака, либо $k_{1m}/2$ также является корнем функции $J_{m+1}(g)$, и второе выражение также не равно нулю.

Исходя из вышеизложенного, можно сделать вывод, что система уравнений (17), (18) неразрешима, т.е. дисперсионное уравнение (15) не имеет решения в области действительных $k_{1m} > 0$ и, следовательно, волны в радиальном направлении не распространяются.

Запишем теперь решение уравнения (9) в функциях Бесселя. Прделав аналогичные выкладки, получаем дисперсионное уравнение вида

$$\frac{I_{m+1}(k_m/2)}{I_m(k_m/2)} + \frac{r_0^j (U_0/c_m - 1)^2}{\sqrt{N^2/w_m^2 - 1}} \frac{J_{m+1}(k_{1m}/2)}{J_m(k_{1m}/2)} = 0. \quad (21)$$

В уравнении (21) перейдем от круговой частоты w_m и волнового числа k_m к фазовой скорости c_m и длине волны λ_m по формулам $k_m = 2p / I_m$, $w_m = c_m 2p / I_m$. Для упрощения анализа введем замену

$$x = p / I_m / \sqrt{(N I_m / 2p c_m)^2 - 1} \quad (22)$$

и преобразуем уравнение (21) к виду

$$J_{m+1}(x) + e(x)J_m(x) = 0, \quad (23)$$

где

$$e(x) = \frac{N^2(I_m/p)^3 x}{r_0^j [2U_0 \sqrt{1 + (I_m x/p)^2} - N(I_m/p)^2 x]^2} \frac{I_{m+1}(p/I_m)}{I_m(p/I_m)}. \quad (24)$$

Коэффициент $e(x)$, входящий в дисперсионное уравнение (23), всегда положительный. Следовательно, левая часть уравнения (23) может изменить знак только при различных знаках $J_m(x)$, $J_{m+1}(x)$. Из графиков функций Бесселя $J_m(x)$, $J_{m+1}(x)$ видно [6], что действительный корень уравнения (23) находится между корнями функций Бесселя $J_m(x)$, $J_{m+1}(x)$. Тогда из (22) и уравнения (23) получим оценку для границ фазовой скорости

$$\frac{N(I_m/p)^2}{2\sqrt{(I_m/p)^2 + 1/(c_{m,i})^2}} < c_m < \frac{N(I_m/p)^2}{2\sqrt{(I_m/p)^2 + 1/(c_{m+1,i})^2}},$$

где $c_{m,i}$, $c_{m+1,i}$ ($i = 1, 2, \dots$) - корни функций Бесселя $J_m(x)$, $J_{m+1}(x)$.

Оценим порядок коэффициента $e(x)$ по данным, приведенным в [7]: частота плавучести $N < 1$ ($N \approx 0,1$), плотность струи $r_0^j \approx 1$, и скорость течения $U_0 \approx 6$. Для действительных значений λ_m отношение

$$\begin{aligned} \frac{I_{m+1}(p/I_m)}{I_m(p/I_m)} &\leq 1, \quad \frac{I_{m+1}(p/I_m)}{I_m(p/I_m)} = 1 \quad (I_m \rightarrow 0), \\ \frac{I_{m+1}(p/I_m)}{I_m(p/I_m)} &\rightarrow \frac{1}{2} \frac{p}{I_m} \quad (I_m \rightarrow \infty). \end{aligned}$$

Следовательно,

$$e(x) \approx \frac{N^2(I_m/p)^3 x}{4r_0^j U_0^2} \quad (I_m \rightarrow 0), \quad e(x) \approx \frac{1}{2r_0^j x (I_m/p)^2} \quad (I_m \rightarrow \infty).$$

Значения коэффициента $e(x)$ были вычислены для широкого диапазона изменения длины волны I_m . В результате вычислений установлено, что в рассмотренном диапазоне изменения I_m величина $e(x)$ не превосходит порядка 10^{-5} . Следовательно, с погрешностью, не превышающей порядка 10^{-5} , решением уравнения (23) является значение корня функции Бесселя $J_{m+1}(x)$. Таким образом с этой же сте-

пенью точности могут быть определены фазовая и групповая скорости

$$c_m = N c_{m+1,i} (I_m / p)^2 / 2 / \sqrt{1 + (I_m c_{m+1,i} / p)^2},$$

$$c_{g_m} = -c_m / [1 + (I_m c_{m+1,i})^2].$$

На рис 1. и 2 представлены результаты расчетов, из которых следует, что несимметричность мало влияет на фазовые скорости (кривые, соответствующие модам 0, 1, 2, мало отличаются). В то же время групповая и фазовая скорости имеют различные знаки, откуда следует, что энергия переносится в направлении, обратном направлению распространения волн.

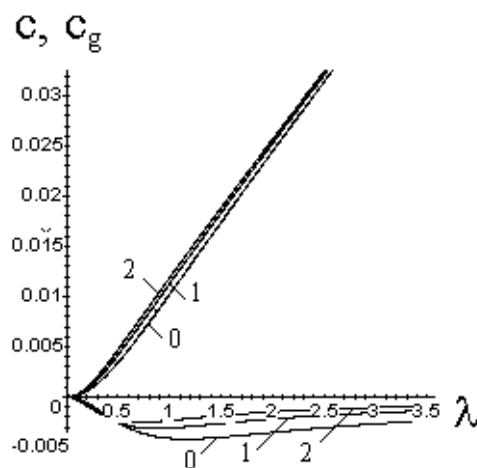


Рис. 1. Зависимость фазовой и групповой скоростей от длины волны. (Кривые с номерами 0, 1, 2 относятся к случаям $m=0,1,2$).

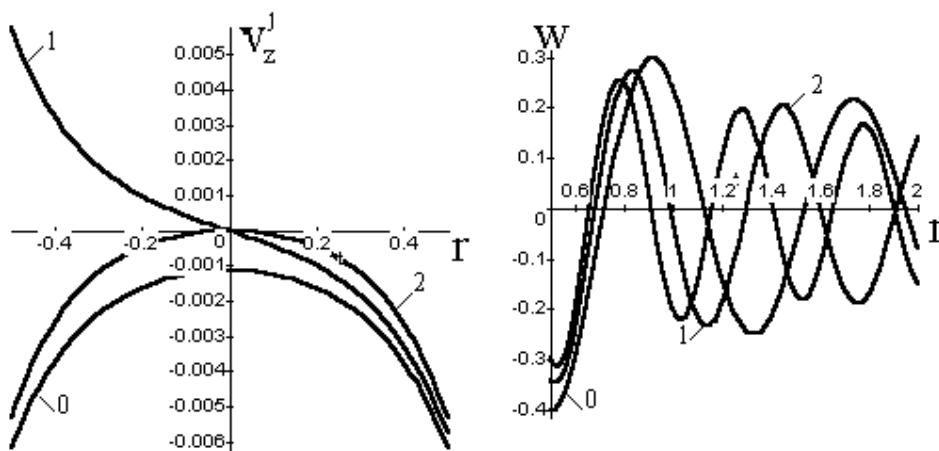


Рис. 2. Зависимость первой моды от γ в струе - v_z^j , ($\lambda = 1$), во внешней области - w .

Численный анализ волновых мод показал, что волновые моды в струе и во внешней области существенно различны. Формы волновых мод в струе зависят от длины волны, в то время как волновые моды во внешней среде не зависят от длины волны. Кроме того, перенос энергии в струе существенно меньше, чем во внешней приструйной области.

Из проведенного выше анализа следует, что для действительных величин круговой частоты w_m и волнового числа k_m не существует решений в классе бегущих волн, распространяющихся в стратифицированной жидкости от струи в радиальном направлении. Однако существуют локализованные возле струи волновые возмущения, которые распространяются вдоль струи, и это находится в соответствии с экспериментальными данными, приведенными в [7].

Работа выполнялась при частичной поддержке проектом INTAS N 99-1637.

Список использованной литературы.

1. Селезов И.Т., Хук П., Шпакова С.Г. Волновые возмущения стратифицированной жидкости от вертикальной струи. - Прикл. гидромеханика, 1999, 1 (73), N 2. - С. 38-44.
2. Selezov I., Huq P. Internal waves generated by a jet in a density stratified cross-flow. - Abstracts and Invited Lectures, 18th Symposium "Vibrations in Physical Systems", Poznan - Blazejewko, May 27-30, 1998. - P. 241-242.
3. Смирнов В.И. Курс высшей математики. Т.3, ч.2. - М.: ГИФМЛ, 1958. 674 с.
4. Миропольский Ю.З. Динамика внутренних гравитационных волн в океане. - Л.: Гидрометеиздат, 1981. 304 с.
5. Handbook of Mathematical Functions. With Formulas, Graphs and Mathematical Tables /Edited by Milton Abramowitz and Irene A. Stegun. - National Bureau of Standards Applied Mathematics Series, 55, 1964. - 832 p.
6. Янке Е., Эмде Ф., Леш Ф. Специальные функции. - М.: Наука, 1968. - 344 с.
7. Huq P. Observations of jets in density stratified grossflows. Atmospheric Environment. 1997, 31, №13. - P. 2011-2022.

Поступила в редколлегию 09.08.2001 г.